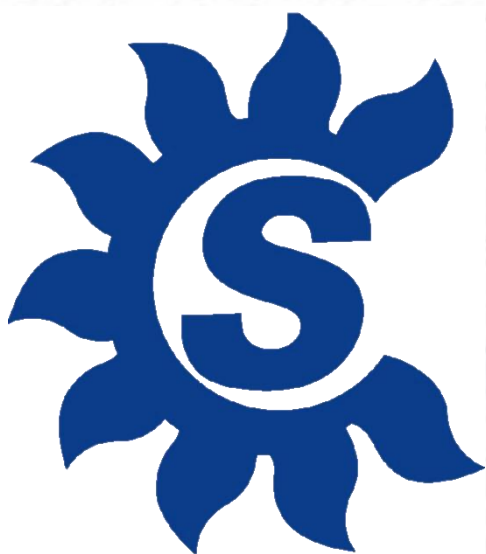


VIGILANCIA SINÓPTICA DE SUDAMÉRICA



INFORME
ABRIL 2025

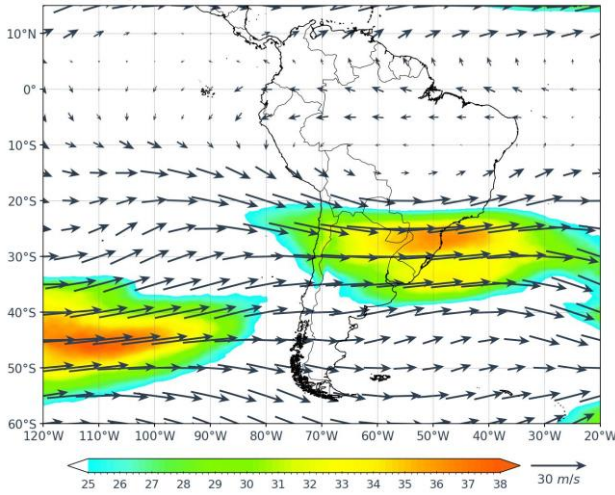


**PRÓXIMO INFORME
A ACTUALIZAR**
MAYO 2025

ANÁLISIS MENSUAL

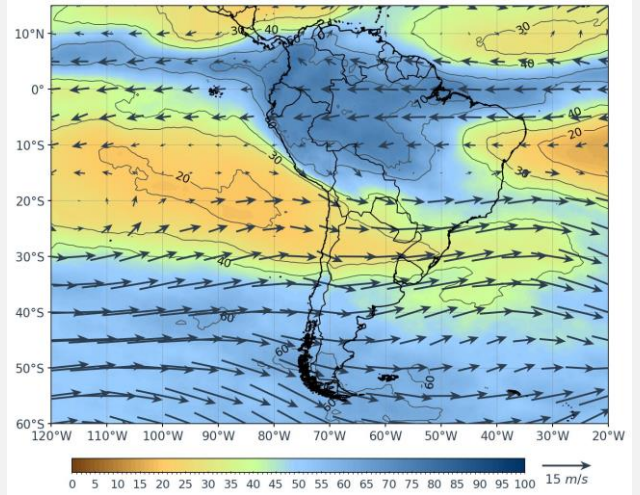
NIVELES ALTOS

Viento (m/s) – 250 hPa



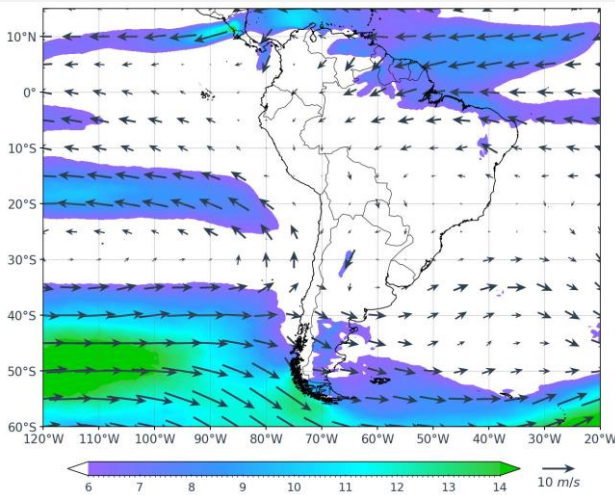
NIVELES MEDIOS

Viento (m/s) – 500 hPa/ Humedad (%)



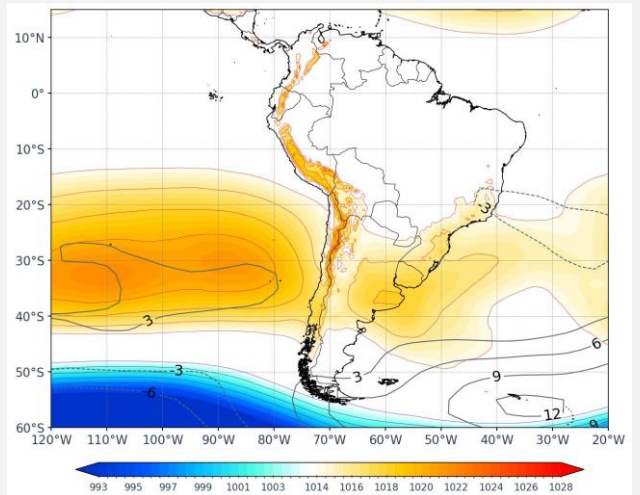
NIVELES BAJOS

Viento (m/s) – 850 hPa



SUPERFICIE

Presión reducida a nivel del mar (hPa)



Para el mes de abril, en niveles altos, predominó la presencia de la Alta de Bolivia (AB) con configuración mayormente zonal y núcleo al norte de Bolivia, aportando inestabilidad sobre Brasil, Colombia, Ecuador y Perú, principalmente. Asimismo, desde los 10°N hacia el sur prevalecieron vientos del oeste con componente zonal dominante a partir de los 25°S, asociado a una onda ubicada entre los 10°S a 45°S. Por otro lado, el Jet Subtropical (JS) se presentó acoplado con el ramal norte del Jet Polar (JP) principalmente desde los 120°W a 50°W, alcanzando una velocidad promedio máxima cercana a los 38 m/s.

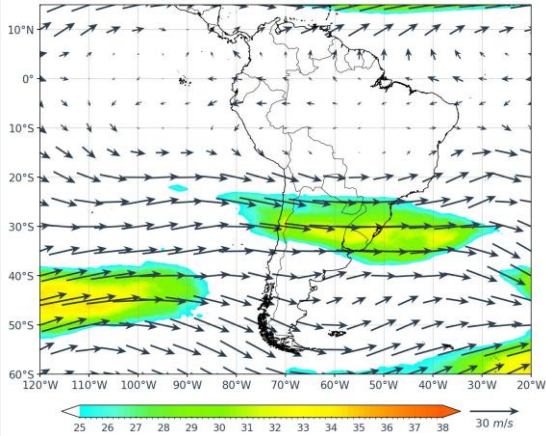
En niveles medios, predominaron flujos del oeste con componente zonal dominante desde los 25°S hacia latitudes mayores, asociados a una onda poco configurada (el cual se reflejó desde niveles altos) que presentó una vaguada de onda corta sobre el centro-norte de Chile y Argentina. También dominaron dos flujos anticiclónicos, uno configurado sobre el océano Pacífico (con núcleo no definido) y otro al este de Brasil (que se extendió desde el océano Atlántico), alrededor de los 10°S. Estos sistemas favorecieron el ingreso de flujos del este con humedad cercana al 70% hacia el Perú, Bolivia, Brasil, Colombia, Ecuador y demás países del extremo norte; por otro lado, sobre gran parte del resto del continente propiciaron el ingreso de aire seco con valores por debajo del 40% de humedad, principalmente al este-sur de Brasil, centro-norte de Chile y Argentina, Paraguay, Uruguay, Bolivia y suroeste de Perú.

En niveles bajos, a 850 hPa, predominaron flujos de componente este sobre el norte de Sudamérica aportando humedad proveniente del Atlántico sobre países del norte y centro de Sudamérica, asimismo, se presentó el incremento en la velocidad de viento sobre Bolivia y Argentina con valores cercanos a 11 m/s, transportando condiciones de inestabilidad hacia esos sectores, reflejando la presencia del Jet de Bajos Niveles (JBN). En superficie, el Anticiclón del Pacífico Sur (APS) predominó con configuración zonal y dos núcleos, el más cercano a continente en los 32°S y 88°W, desplazado hacia el sur de su posición climática, con una intensidad superior a los 1020 hPa (ligeramente más intenso respecto a su promedio); asimismo, el Anticiclón del Atlántico Sur (AAS), se presentó desplazado hacia el este de su posición climática y con una intensidad inferior a su promedio. Por otro lado, se reflejó el paso de altas migratorias (AM) durante el mes con el incremento de presión sobre Argentina y Uruguay.

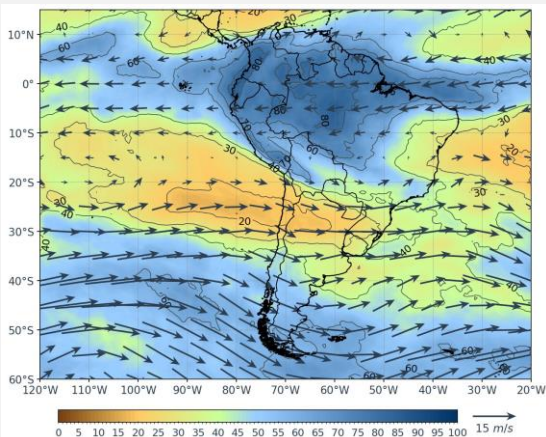
ANÁLISIS

Primera decadiaria

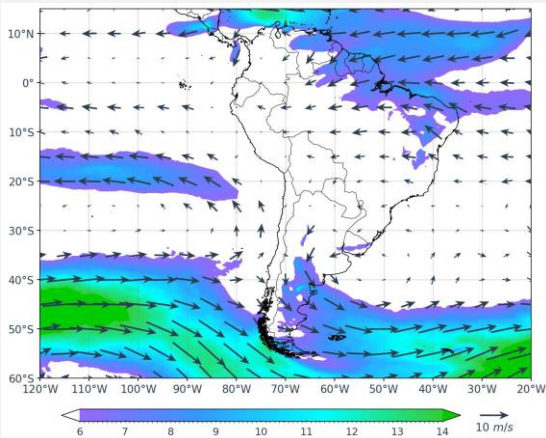
NIVELES ALTOS
Viento (m/s) – 250 hPa



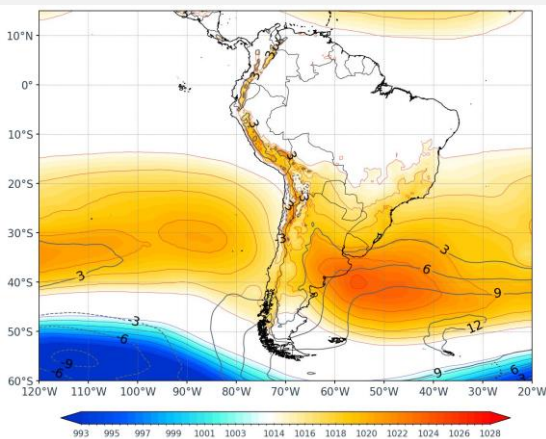
NIVELES MEDIOS
Viento (m/s) – 500 hPa/ Humedad (%)



NIVELES BAJOS
Viento (m/s) – 850 hPa



SUPERFICIE
Presión reducida a nivel del mar



En niveles altos, se presentó la AB con una débil configuración zonal y sin núcleo definido, influyendo principalmente sobre Perú, Brasil, Venezuela y Colombia (generando inestabilidad en esos sectores). Así también, predominaron flujos del oeste desde 15°S hacia latitudes mayores (con componente zonal dominante), influenciados por la presencia de una onda débil proveniente del oeste, que presentó una vaguada sobre el centro-norte de Chile y Argentina (acentuando la inestabilidad). Por otro lado, el JS predominó acoplado al ramal norte del JP, desde los 120°W a 90°W, además se alcanzaron velocidades promedio máximas cercanas a los 34 m/s.

En niveles medios, al norte de Sudamérica prevalecieron flujos de componente este que trasladaron humedad (entre 60-80%) hacia Bolivia, Perú, Brasil, Ecuador, Colombia, Venezuela y demás países del extremo norte del continente. Asimismo, predominaron patrones de circulación antihoraria, una alrededor de los 18°S sobre el océano Pacífico y otra al este de Brasil (sobre el Atlántico), asociados al ingreso de aire seco (por debajo de los 40% de humedad) sobre el sureste de Brasil, Chile, Argentina, Uruguay, Paraguay y Bolivia. También, prevaleció una onda débil con una vaguada ubicada sobre el norte de Chile y Argentina, que se reflejó desde niveles altos, favoreciendo la inestabilidad en ese sector.

En superficie, el APS presentó una configuración zonal con dos núcleos, el más cercano en los 31°S y 88°W, con valores de presión alrededor de los 1020 hPa, más intenso respecto a lo climático y desplazado hacia el sureste. Asimismo, el AAS se mostró desplazado hacia el este y con valores de presión similares a su promedio. Por otro lado, se reflejó significativamente el paso de altas migratorias (AM) con el incremento de presión sobre Argentina y Uruguay. En niveles bajos, predominaron flujos de componente este sobre el noreste de Sudamérica aportando humedad sobre el norte y centro del continente. Asimismo, se mostró el incremento de viento sobre el centro-sur de Argentina con velocidades cercanas a 11 m/s, transportando condiciones de inestabilidad y humedad hacia esos sectores.

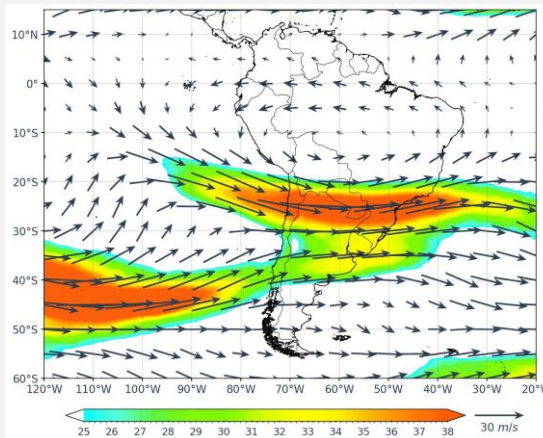
ANÁLISIS

Segunda decadiaria

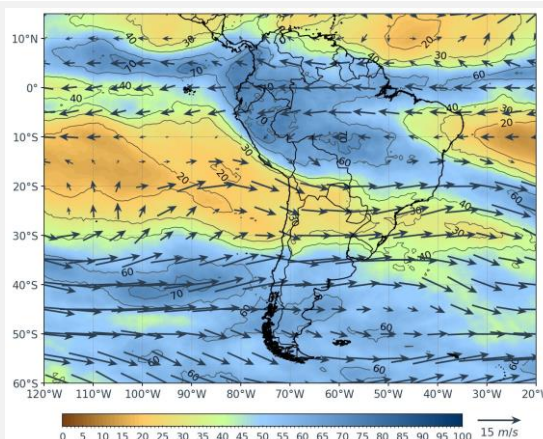
En niveles altos, se presentó una AB con configuración zonal y núcleo sobre los 13°S y 63°W aproximadamente, aportando inestabilidad principalmente sobre Perú, Brasil, Colombia y Ecuador. Además, prevalecieron flujos del oeste desde los 10°S hacia latitudes mayores (con componente zonal dominante), influenciados por la presencia de una onda, que presentó una dorsal sobre el norte de Chile y Argentina, y sur de Brasil (acentuando la estabilidad). Por otro lado, el JS se presentó acoplado con el ramal norte del JP desde los 120°W a 40°W, presentando velocidades promedio máximas cercanas a los 38 m/s.

En niveles medios, en parte del centro-norte de Sudamérica prevaleció el contenido de humedad alto (entre 60-80% de humedad) principalmente sobre Perú, Brasil, Bolivia, Ecuador y Colombia, debido a la prevalencia de flujos de componente este al norte de Sudamérica; sin embargo, al extremo norte del continente se presentó el ingreso de aire seco. También, predominaron flujos del oeste desde los 25°S hasta latitudes mayores, asociadas a una onda que se reflejó desde niveles altos; asimismo, prevalecieron patrones de giro anticiclónico uno sobre el océano Pacífico (alrededor de los 15°S) y otro al este de Brasil (proveniente del Atlántico), estos factores favorecieron el ingreso de aire seco (menos del 40% de humedad) sobre el centro-norte de Chile y Argentina, Uruguay, Paraguay y sur-este de Brasil.

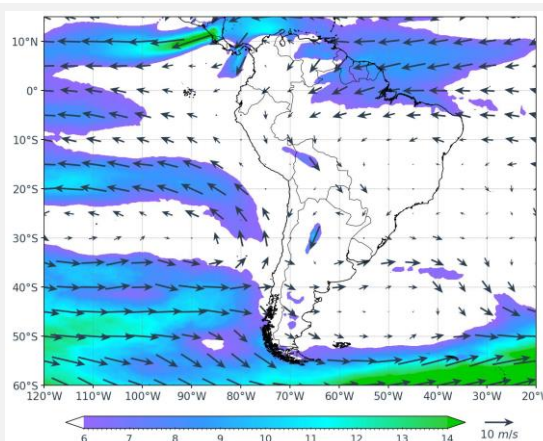
En superficie, el APS presentó una configuración zonal con dos núcleos, el más próximo a continente en los 33°S y 85°W, con valores de presión cercanos a los 1022 hPa, más intenso respecto al climático y desplazado hacia el sureste. Asimismo, el AAS predominó desplazado hacia el sur y con una intensidad superior del promedio. Por otro lado, se reflejó el paso de altas migratorias (AM), que se reflejó por el incremento de presión sobre Argentina y Uruguay. En niveles bajos, predominaron flujos de origen este sobre el noreste de Sudamérica, los que se desplazaron sobre la amazonia aportando humedad sobre la región norte y centro del continente, además, se presentó el incremento de la velocidad del viento sobre Bolivia y Argentina con velocidades cercanas a 12m/s, reflejando la presencia del JBN, que favoreció al transporte de humedad y a la inestabilidad.



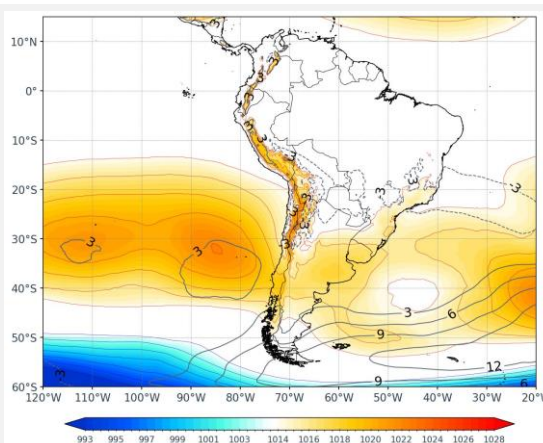
NIVELES ALTOS
Viento (m/s) – 250 hPa



NIVELES MEDIOS
Viento (m/s) – 500 hPa/ Humedad (%)



NIVELES BAJOS
Viento (m/s) – 850 hPa

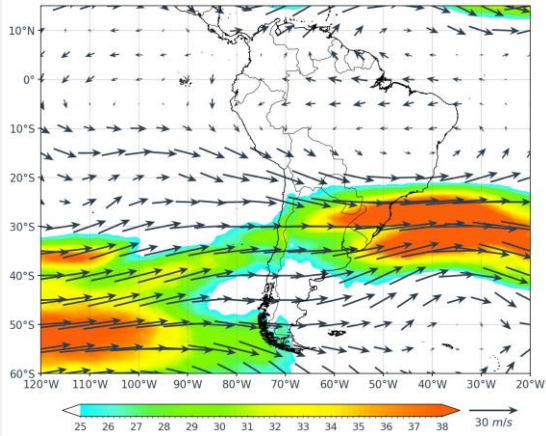


SUPERFICIE
Presión reducida a nivel del mar

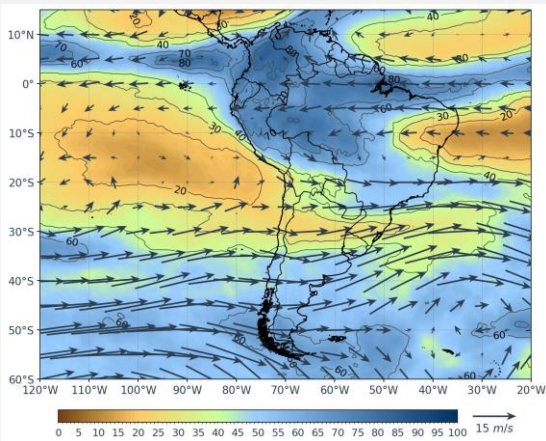
ANÁLISIS

Tercera decadiaria

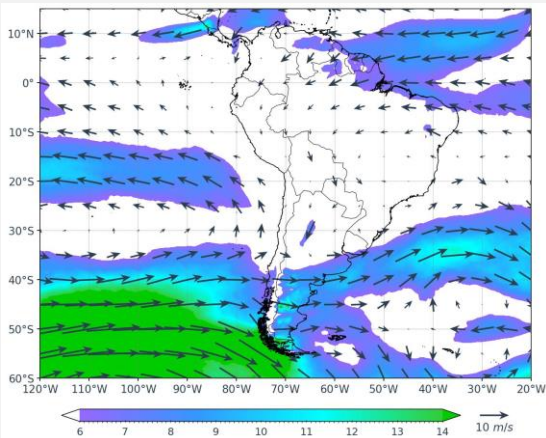
NIVELES ALTOS
Viento (m/s) – 250 hPa



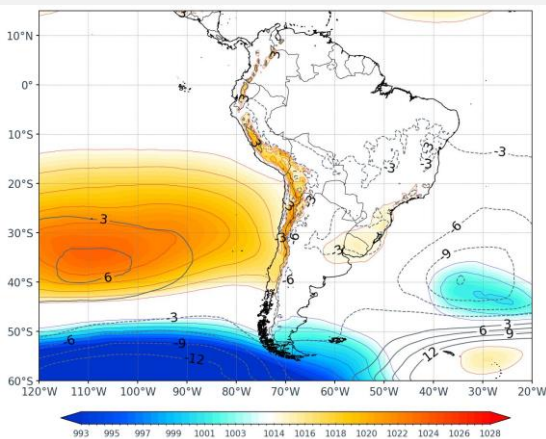
NIVELES MEDIOS
Viento (m/s) – 500 hPa/ Humedad (%)



NIVELES BAJOS
Viento (m/s) – 850 hPa



SUPERFICIE
Presión reducida a nivel del mar

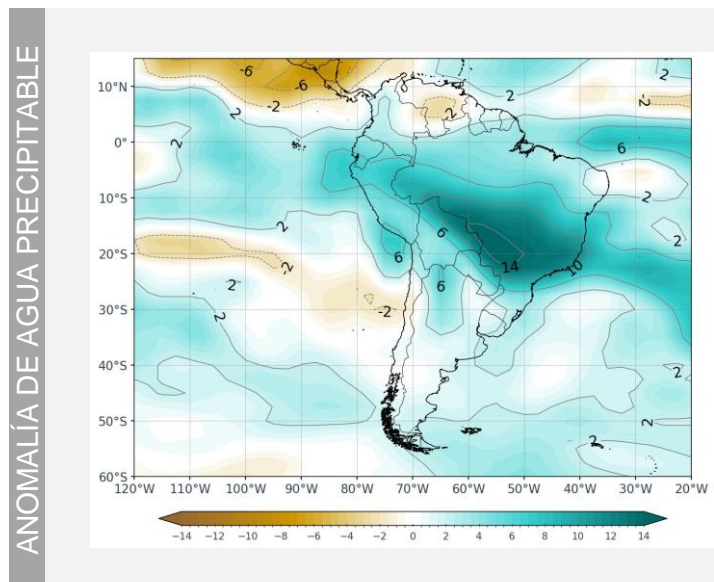
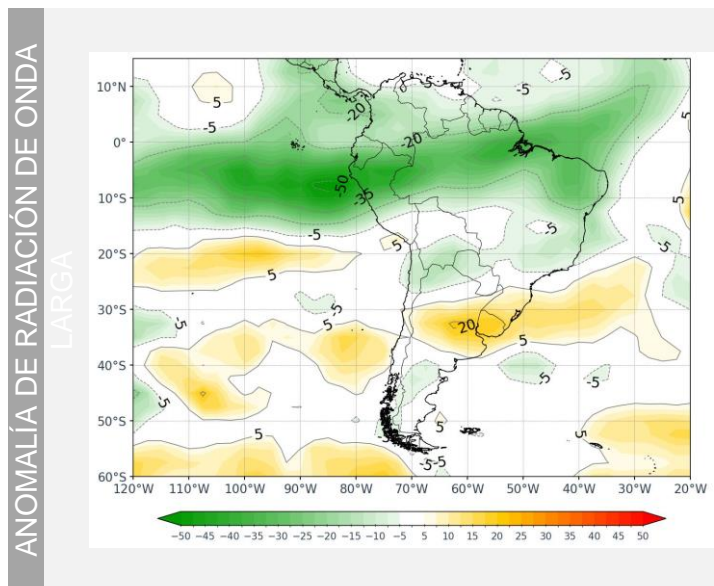


En niveles altos, la AB presentó una débil configuración zonal con núcleo no definido, aportando inestabilidad principalmente sobre Perú, Brasil y Colombia. También, se tuvo el dominio de flujos del oeste, desde 10°S hacia latitudes mayores (con componente zonal dominante), asociado a una onda que presentó una vaguada sobre el sur de Perú y Bolivia, acentuando las condiciones de inestabilidad sobre ese sector. Por otro lado, el JS predominó acoplado al JP, y presentó velocidades promedio máximas cercanas a 38 m/s.

En niveles medios, al norte de Sudamérica prevalecieron flujos del este transportando humedad (entre 60-80% de humedad) hacia Perú, Bolivia, Brasil, Colombia, Ecuador, Venezuela y demás países del extremo norte. Así mismo, predominaron patrones de circulación anticiclónica, una sobre el pacífico (alrededor de los 15°S) y otra al este de Brasil (que se extendió desde el Atlántico); también se presentaron flujos dominantes del oeste desde los 25°S hacia latitudes mayores, asociados a una onda débil reflejada desde niveles altos, con una vaguada sobre el centro-norte de Chile, que acentuó la inestabilidad sobre ese sector; estos patrones favorecieron el ingreso de aire seco (menor al 40% de humedad) sobre el centro-norte de Chile y Argentina, Paraguay, Uruguay, Bolivia, suroeste de Perú y sur-este de Brasil.

En superficie, el APS presentó una configuración zonal y núcleo en los 35°S y 110°W con valores por encima de los 1022 hPa, más intenso respecto al climático y desplazado hacia el suroeste. Por otro lado, el AAS predominó desplazado al este de su posición climática y con una intensidad inferior a su promedio (en su posición habitual prevalecieron marcadas bajas presiones). Asimismo, no se reflejó el paso significativo de altas migratorias (AM). En niveles bajos, predominaron flujos de origen este sobre el noreste de Sudamérica, aportando humedad sobre el norte-centro del continente, así también, se presentó un incremento de la velocidad del viento sobre el centro-norte de Argentina, alcanzando velocidades cercanas a 10m/s (reflejando la presencia del JBN) transportando condiciones de humedad e inestabilidad hacia esos sectores.

ANÁLISIS MENSUAL

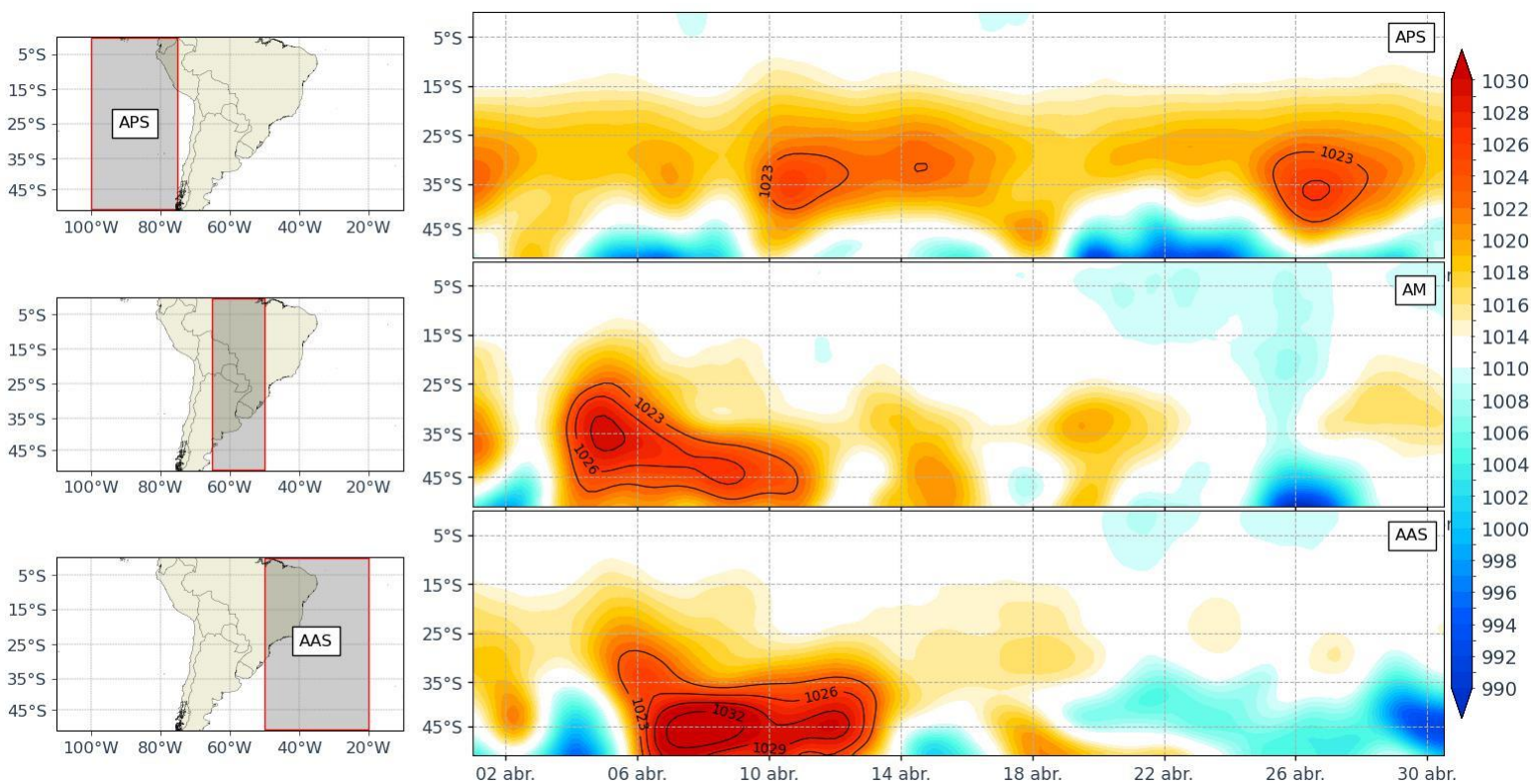


Respecto a las anomalías mensuales de radiación de onda larga, se apreciaron anomalías negativas sobre gran parte del centro-norte del continente, principalmente en Brasil, Perú, Ecuador, Colombia y Venezuela, esto asociado a la presencia de mayor nubosidad en respuesta al mayor contenido de humedad respecto a lo climático. Por otro lado, se apreciaron anomalías positivas de forma localizada en Argentina, Uruguay, sur de Brasil, y sobre el centro-sur del Pacífico y Atlántico, relacionadas a la ausencia de nubosidad en la zona, además, estas anomalías positivas podrían ser el reflejo de una disminución en las precipitaciones respecto a lo climático.

Las anomalías mensuales de agua precipitable reflejaron anomalías positivas en gran parte del área de análisis, de manera más acentuada sobre Brasil, Paraguay, Bolivia, Argentina, Perú, Ecuador, Colombia y en gran parte del Pacífico y del Atlántico, los cuales estuvieron asociados a un incremento de la misma respecto a su climatología, lo que pudo haberse reflejado con mayor nubosidad y probables precipitaciones. Por otro lado, las anomalías negativas abarcaron zonas localizadas como en los países del extremo norte de Sudamérica, indicando la poca actividad convectiva y disminución de agua precipitable respecto a su climatología (relacionado a zonas con más sequedad de lo usual).

ANÁLISIS TEMPORAL

Presión reducida al nivel del mar



Durante el mes de abril, el APS superó los 1023 hPa durante la segunda y tercera decadiaria, de manera más marcada cerca del 10 y 26 de abril, para el resto del periodo se tuvieron en su mayoría valores bajos de presión (sección APS). Por otro lado, el AAS llegó a superar los 1023 hPa de manera marcada del 6 y 14 de abril (llegando a alcanzar incluso valores cercanos a los 1032 hPa), el resto del mes presentó valores por debajo y de manera más marcada en la tercera decadiaria (sección AAS). Respecto a las altas migratorias (AM), se presentó una intensificación significativa del 3 y 12 de abril con valores por encima de los 1023 hPa (presentando incluso valores cercanos a los 1029 hPa), estos incrementos estuvieron asociados a la presencia del quinto al octavo friaje del año en la selva peruana.

**Director de Meteorología y Evaluación
Ambiental Atmosférica**

Julio Ernesto Urbiola del Carpio
jurbiola@senamhi.gob.pe

Subdirector de Predicción Meteorológica

Piero Rivas Quispe
privas@senamhi.gob.pe

Elaboración y redacción:

- Bremilda Sutizal Sánchez
bsutizal@senamhi.gob.pe

Para mayor información sobre los avisos meteorológicos, visite este link :
<http://www.senamhi.gob.pe/avisos>

Próxima publicación: JUNIO 2025



**Servicio Nacional de
Meteorología e Hidrología del
Perú - SENAMHI**

Jr. Cahuide 785, Jesús María
Lima - Perú



Central telefónica: 614-1414

**Unidad Funcional de Atención al
Ciudadano:
470-2867**

Pronóstico: 614-1407 o 265-8798
(Atención las 24 horas vía WhastApp)

Consultas y sugerencias:

pronosticador@senamhi.gob.pe